

外部電流에 의한 海水冷却細管 内面의 陰極防蝕에 관한 研究

田 大 熙

A Study of Cathodic Protection for the Inner Surface of Sea Water Cooling Tubes by the External Current

Jeon Daeji

1. 서 론	1-1. 目 次
2. 実験装置 및 方 法	2-1. 試験試験管 内面の 電位分 析 2-2. 試験電極 2-3. 試験機器 2-4. 実験方 法
3. 実験結果 및 考察	3-1. 試験試験管 内面の 電位分 析 3-2. 海水冷却細管 内面の 電位分 析 3-3. 初期防蝕電流密度의 變化 3-4. 初期防蝕電流密度의 實驗式
4. 結論	4-1. 結論 4-2. 参考文献
5. 結語	5-1. 初期防蝕電流密度의 實驗式 教導

Abstract

This paper presents a basic study of a new method for protecting the inner surface of sea water cooling tubes of heat exchangers by the external current.

The experimental equipments were built with 70 30 twisted tapes and the dimensions of tapes were as follows:

- equipment-A: 22.0mm (ϕ) x 150cm/L,
- equipment-B: 19.5mm (ϕ) x 110cm/L,
- equipment-C: 24.5mm (ϕ) x 180cm/L.

A twisted tape was inserted into each cooling tube and an insoluble auxiliary anode of linear type, made of the Pb-Ag alloy, was fitted on both ends of the twisted tape.

A small, durable, natural sea water type AgCl electrode was used as a reference electrode, and its electrical potential characteristics were checked. This electrode was fitted on the cooling tube to measure the electrical potential of inner surface of the tube and to control the protective current density according to its potential.

An attempt was made to protect the inner surfaces of the sea water cooling tubes directly

against the corrosion by the external current.

The results of the study were as follows:

- (1) The small, natural sea water type AgCl electrodes have been available as reference electrode for the purpose of corrosion prevention, and the mean electrical potentials of the electrodes have been as follows:

$$t \leq 25^{\circ}\text{C}; E = 6.9 + 0.19(t - 25) \text{ mV(SCE)},$$

$$t \geq 25^{\circ}\text{C}; E = 6.9 - 0.17(t - 25) \text{ mV(SCE)}.$$

- (2) The distribution and the change of electrical potentials on the inner surface of the cooling tube have been measured by the small AgCl electrodes, and the inner surface of the cooling tube have been protected satisfactorily against corrosion by the external current.
- (3) The initial protective current density $I(\text{A/m}^2)$ of the inner surface of cooling tubes cooled at $25\sim26^{\circ}\text{C}$ by the condensed sea water has been as follows:

tube's dimension— $19.5\text{mm}(\phi) \times 120\text{cm}(l)$;

$$I = 1.2230 + 1.2063 \log V - 0.2062 \log A,$$

tube's dimension— $24.5\text{mm}(\phi) \times 180\text{cm}(l)$;

$$I = 0.8836 + 1.1396 \log V - 0.2167 \log A,$$

where

V is the cooling sea water speed(m/s) and A is the protective area(m^2) of cooling tubes

1. 序 論

臨海工業團地가 많아짐에 따라 船舶에서만 使用하던 海水冷却 热交換器는 그 數와 規模가 急激히 增大하였다. 海水冷却細管은 이러한 热交換器에서 가장 重要한 部分이다. 그러나 이 冷却細管은 海水의 腐蝕性 뿐만 아니라 热負荷의 過重, 冷却海水의 汚染, 海水配管 内面의 라이닝 등으로 말미암아 短時日内에 뜯쓰게 되기 쉽고, 그 冷却細管을 交換하기 위해서는 热交換器 뿐만 아니라 다른 施設까지도 運休하여야 할 때가 많다. 따라서 热交換器의 冷却細管의 腐蝕事故는 生產에 直接的으로나 間接的으로 莫大한 被害를 입하는 경우가 적지 않으므로 이에 대한 防蝕對策은 重要한 意義를 가지고 있다.

熱交換器는一般的으로 傳熱性, 耐蝕性 및 建造費의 見地에서 이를 銅合金製의 冷却細管과 鐵鋼製의 外胴으로 만들고 그 水室內面에 流電陽極이나 不溶性 陽極을 設置해서 電氣的으로 防蝕한다. 이 防蝕電流는 水室과 管板을 防蝕하고 또한 冷却細管 内徑의 6~9倍에相當하는 冷却細管의 兩端內面까지를 防蝕하므로 海水의 亂流에 起因해서 發生하는 管端入口浸蝕(intake attack)도 有効하게 防止한다.^{1,2)} 그러나 冷却細管 内面의 깊숙한 部分에 대해서는 水室內의 防蝕陽極으로부터의 電流에 의해서 防蝕되지 못하므로 이 部分에 대해서 冷却細管의 耐蝕성이 不足한 경우에는 热傳導性을 犧牲시키드라도 보다 耐蝕성이 強한 冷却細管을 採用하는 方法이나 冷却海水中에 鐵이온을 混入해서 冷却細管 内面에 防蝕皮膜을 形成시켜주는 方法이 利用되

III. 實驗實情

耐蝕性材料에 의해海水冷却細管 내面防蝕對策은 1925년 미국 캘ifornia 해안
(a) Admiralty metal에 의해 사용되었으나 그 이후耐蝕性이 좋지 않은 Al黃銅管가 發現되어海水冷却細管材에 대한耐蝕性은 사용되지 않았다. 1930년海水冷却細管材에 대한熱負荷이
過重으로서耐蝕性이不足되었고 Al黃銅管은 耐蝕性이不足되었고 Al青銅管이 주로 쓰여졌고 (cupro-nickel) 1935년
Al黃銅管은 耐蝕性이不足되었고 Al黃銅管은 耐蝕性이不足되었고 Al青銅管이 주로 쓰여졌다. 1940년
Al黃銅管은 耐蝕性이不足되었고 Al黃銅管은 耐蝕性이不足되었고 Al青銅管이 주로 쓰여졌다. 1945년
Al黃銅管은 耐蝕性이不足되었고 Al黃銅管은 耐蝕性이不足되었고 Al青銅管이 주로 쓰여졌다. 1950년
Al黃銅管은 耐蝕性이不足되었고 Al黃銅管은 耐蝕性이不足되었고 Al青銅管이 주로 쓰여졌다. 1955년
Al黃銅管은 耐蝕性이不足되었고 Al黃銅管은 耐蝕性이不足되었고 Al青銅管이 주로 쓰여졌다. 1960년
Al黃銅管은 耐蝕性이不足되었고 Al黃銅管은 耐蝕性이不足되었고 Al青銅管이 주로 쓰여졌다. 1965년
Al黃銅管은 耐蝕性이不足되었고 Al黃銅管은 耐蝕性이不足되었고 Al青銅管이 주로 쓰여졌다. 1970년
Al黃銅管은 耐蝕性이不足되었고 Al黃銅管은 耐蝕性이不足되었고 Al青銅管이 주로 쓰여졌다. 1975년
Al黃銅管은 耐蝕性이不足되었고 Al黃銅管은 耐蝕性이不足되었고 Al青銅管이 주로 쓰여졌다. 1980년
Al黃銅管은 耐蝕性이不足되었고 Al黃銅管은 耐蝕性이不足되었고 Al青銅管이 주로 쓰여졌다. 1985년
Al黃銅管은 耐蝕性이不足되었고 Al黃銅管은 耐蝕性이不足되었고 Al青銅管이 주로 쓰여졌다. 1990년
Al黃銅管은 耐蝕性이不足되었고 Al黃銅管은 耐蝕性이不足되었고 Al青銅管이 주로 쓰여졌다. 1995년
Al黃銅管은 耐蝕性이不足되었고 Al黃銅管은 耐蝕性이不足되었고 Al青銅管이 주로 쓰여졌다. 2000년
Al黃銅管은 耐蝕性이不足되었고 Al黃銅管은 耐蝕性이不足되었고 Al青銅管이 주로 쓰여졌다. 2005년
Al黃銅管은 耐蝕性이不足되었고 Al黃銅管은 耐蝕性이不足되었고 Al青銅管이 주로 쓰여졌다. 2010년
Al黃銅管은 耐蝕性이不足되었고 Al黃銅管은 耐蝕性이不足되었고 Al青銅管이 주로 쓰여졌다. 2015년
Al黃銅管은 耐蝕性이不足되었고 Al黃銅管은 耐蝕性이不足되었고 Al青銅管이 주로 쓰여졌다. 2020년
Al黃銅管은 耐蝕性이不足되었고 Al黃銅管은 耐蝕性이不足되었고 Al青銅管이 주로 쓰여졌다.

Table 1 Corrosion resistance and heat conductivity of cooling tube materials

cooling tube material	complete immersion penetration, mm/yr	resistance of corrosion-erosion	heat conductivity, kcal/mhr°C
admiralty metal	0.04	satisfactory	95.48
Al brass	0.02	good	85.37
Al-bronze	0.03	*	-
90/10 cupro-nickel	-	-	33.64
70/30 *	0.038	good with 0.15Fe excellent with 0.45Fe	25.70
ferrite-austenite stainless steel*	0.02**	good**	18.37

* 25Cr-5Ni-1.5Mo steel, ** 25Cr-20Ni steel

鐵斗埠에 의해海水冷却細管 内面防蝕對策은 热交換器에冷却海水中에 鐵斗埠에 混存하는
銅合金에 冷却細管 内面에 防蝕皮膜이 形成되었다는 事實이 發現되었을 때 1907년에 美國에 一部의 热交換器에 冷却海水中에 FeSO_4 를 混入하여 冷却細管 内面에 防蝕皮膜이 形成되는 電氣防蝕法이
이용되었다. 1915년 A. Nakagawa 등은 0.01ppm의 鐵粉과 混合하여 冷却細管 内面에 防蝕皮膜이 形成되는 電氣防蝕法을
이용하였다. 1920년 A. Nakagawa 등은 0.01ppm의 鐵粉과 混合하여 冷却細管 内面에 防蝕皮膜이 形成되는 電氣防蝕法을
이용하였다. 1925년 A. Nakagawa 등은 0.01ppm의 鐵粉과 混合하여 冷却細管 内面에 防蝕皮膜이 形成되는 電氣防蝕法을
이용하였다. 1930년 A. Nakagawa 등은 0.01ppm의 鐵粉과 混合하여 冷却細管 内面에 防蝕皮膜이 形成되는 電氣防蝕法을
이용하였다. 1935년 A. Nakagawa 등은 0.01ppm의 鐵粉과 混合하여 冷却細管 内面에 防蝕皮膜이 形成되는 電氣防蝕法을
이용하였다. 1940년 A. Nakagawa 등은 0.01ppm의 鐵粉과 混合하여 冷却細管 内面에 防蝕皮膜이 形成되는 電氣防蝕法을
이용하였다. 1945년 A. Nakagawa 등은 0.01ppm의 鐵粉과 混合하여 冷却細管 内面에 防蝕皮膜이 形成되는 電氣防蝕法을
이용하였다. 1950년 A. Nakagawa 등은 0.01ppm의 鐵粉과 混合하여 冷却細管 内面에 防蝕皮膜이 形成되는 電氣防蝕法을
이용하였다. 1955년 A. Nakagawa 등은 0.01ppm의 鐵粉과 混合하여 冷却細管 内面에 防蝕皮膜이 形成되는 電氣防蝕法을
이용하였다. 1960년 A. Nakagawa 등은 0.01ppm의 鐵粉과 混合하여 冷却細管 内面에 防蝕皮膜이 形成되는 電氣防蝕法을
이용하였다. 1965년 A. Nakagawa 등은 0.01ppm의 鐵粉과 混合하여 冷却細管 内面에 防蝕皮膜이 形成되는 電氣防蝕法을
이용하였다. 1970년 A. Nakagawa 등은 0.01ppm의 鐵粉과 混合하여 冷却細管 内面에 防蝕皮膜이 形成되는 電氣防蝕法을
이용하였다. 1975년 A. Nakagawa 등은 0.01ppm의 鐵粉과 混合하여 冷却細管 内面에 防蝕皮膜이 形成되는 電氣防蝕法을
이용하였다. 1980년 A. Nakagawa 등은 0.01ppm의 鐵粉과 混合하여 冷却細管 内面에 防蝕皮膜이 形成되는 電氣防蝕法을
이용하였다. 1985년 A. Nakagawa 등은 0.01ppm의 鐵粉과 混合하여 冷却細管 内面에 防蝕皮膜이 形成되는 電氣防蝕法을
이용하였다. 1990년 A. Nakagawa 등은 0.01ppm의 鐵粉과 混合하여 冷却細管 内面에 防蝕皮膜이 形成되는 電氣防蝕法을
이용하였다. 1995년 A. Nakagawa 등은 0.01ppm의 鐵粉과 混合하여 冷却細管 内面에 防蝕皮膜이 形成되는 電氣防蝕法을
이용하였다. 2000년 A. Nakagawa 등은 0.01ppm의 鐵粉과 混合하여 冷却細管 内面에 防蝕皮膜이 形成되는 電氣防蝕法을
이용하였다. 2005년 A. Nakagawa 등은 0.01ppm의 鐵粉과 混合하여 冷却細管 内面에 防蝕皮膜이 形成되는 電氣防蝕法을
이용하였다. 2010년 A. Nakagawa 등은 0.01ppm의 鐵粉과 混合하여 冷却細管 内面에 防蝕皮膜이 形成되는 電氣防蝕法을
이용하였다. 2015년 A. Nakagawa 등은 0.01ppm의 鐵粉과 混合하여 冷却細管 内面에 防蝕皮膜이 形成되는 電氣防蝕法을
이용하였다. 2020년 A. Nakagawa 등은 0.01ppm의 鐵粉과 混合하여 冷却細管 内面에 防蝕皮膜이 形成되는 電氣防蝕法을
이용하였다.

充이 必要하게 된다.

以上에서 考察한 바와 같이 耐蝕性 冷却細管을 採用하는 方法은 热交換器의 構造와 取扱法을複雜하게 하지 않고, 鐵이온에 의한 防蝕法은 既設 热交換器에 그대로 適用할 수 있다는 長點이 있다. 그러나 前者は 热交換器에서 가장 重要한 冷却細管의 热傳導性을 牺牲시킬 뿐만 아니라 热交換器의 製作費를 비싸게 하고, 後자는 防蝕效能이 不充分하고 間接的인 防蝕法이므로 多은 防蝕費와 附帶施設이 所要된다. 따라서 이들의 防蝕法은 海水冷却細管의 効果의in 防蝕對策이 못된다. 또 管內徑이 300mm 以上이 되는 큰 海水管 内面에는 그 내경의 15~20倍, 即 5m 以上的 間隙으로 그 管内面에 流電陽極이나 不溶性陽極을 設置해서 電氣防蝕하는 方法이 利用^{12, 13)} 되고 있으나 内徑이 20mm 内外가 되는 冷却細管에는 그 方法도 適用할 수가 없다. 그러므로 著者は 海水冷却細管 内面의 効果의in 防蝕對策으로서 海水中에서 防蝕效果가 대단히 크고 汚染海水中에서도 有効할 뿐만 아니라 過防蝕의 障害도 적고 極히 經濟的인 防蝕法이란 定評^{14, 15, 16)}이 있는 陰極防蝕法을 冷却細管 内面에 直接 適用하는 新로운 電氣防蝕法에 着眼했다.

이 防蝕法은 热交換器의 海水冷却細管 内部에 트위스트테이프(twisted tape)를 插入해서 固定하고 그 테이프兩面에 붙인 不溶性 線狀陽極을 通해서 外部電源으로부터의 防蝕電流를 冷却細管 内面에 直接 流入시키는 方法이다. 이 防蝕法에서 트위스트테이프는 不溶性 陽極線을 冷却細管内에 安定하게 固定할 뿐 아니라 傳熱促進裝置¹⁷⁾로서도 作用한다.

이 研究는 海水冷却細管을 長期間 交換하지 않고 冷却效率이 높은 狀態로 계속해서 使用할 수 있는 海水冷却 热交換器를 開發하기 위한 基礎研究이다. 그러나 트위스트테이프의 傳熱效果에 대해서는 本題와 直接的인 關係가 없으므로 다루지 않는다.

2. 實驗裝置 및 實驗方法

2.1 基準電極

電位測定用의 基準電極(補助電極)으로는 카로엘電極, 鹽化銀電極 및 黃酸銅電極이 널리 使用되고 있다. 海水中 金屬體의 電位測定用으로서 黃酸銅電極은 鹽橋없이 使用할 때에 海水가 電極内로 浸入하므로 그 電位가 變化되고,¹⁸⁾ 饰和KCl型의 카로엘電極이나 鹽化銀電極은 長久間繼續해서 海水中에 使用할 때에 KCl結晶粒을 자주 添加하지 않으면 電極液의 稀釋으로 그 電位가 變한다. 그러나 海水型의 카로엘電極이나 鹽化銀電極은 海水中에서 電極液의 浸透現象이 일어나지 않으므로 그 電位가 長期間에 걸쳐서 安定하다. 特히 海水型 鹽化銀電極은 電極物質이 固體이기 때문에 取扱하기가 쉽고 電位의 溫度히스테리시스가 적으므로 海水用의 理想的 電極¹⁹⁾이며 簡單히 만들 수 있다. 그러나 이 電極電位는 製作條件에 따라若干 다르다.²⁰⁾

著者の 研究에는 热交換器의 冷却細管 表面上의 小孔에 基準電極을 設置해서 長期間 繼續해서 使用하여야 하므로 小形이고 耐破型이며 電位가 長期間에 걸쳐서 安定한 基準電極이 어려개必要하다. 그러므로 小形 耐破型 天然海水型의 鹽化銀電極을 다음과 같은 同一條件으로 6個 1組

帶有三層玻璃管，最外層為一層聚氯乙烯管，最內層為一層聚四氟乙烯管，並裝置在一個鐵架台上。

(4) 1.5mmφ×10mmL 的聚丙烯管：用於將氯離子濃度計與電極連接，並裝置在一個鐵架台上。

(5) 銀桿電極：由銀絲和氯化銀組成，其結構為：銀絲→氯化銀→銀絲，並用乾燥劑包覆，此電極在酸性溶液中可與AgCl電極共存，但不能與陽極氧化土共存或與氯化鉻共存。

(6) 電解池：由鐵製成，底面鋪上透明塑料紙，並用鋁箔帶封住，並裝置在一個鐵架台上。電解池外側有一方形鐵架，用於固定電解池和溫度計，並附有溫度計夾子，並用以固定溫度計。

(7) 電解槽：由不鏽鋼製成，槽底鋪上氯化銀，槽壁鋪上AgCl電極，槽頂蓋上氯化鉻，槽內裝有氯化鈉溶液，並裝置在一個鐵架台上。



Fig. 1. A three-layer glass tube assembly.

(Photo 1) chloride meter.

(Photo 2) AgCl electrode.

(Photo 3) AgCl electrode.

(Photo 4) AgCl electrode.

Photo 1. Chloride concentration meter
(A) chloride meter; (B) AgCl electrode.

2.2 實驗裝置

1. 電極安裝(A)

首先將氯化銀電極和氯化鉻電極分別裝置在氯離子濃度計的測量管上，即裝置A，其裝置圖如圖1所示。

測量管長度為10cm，直徑2mm，並裝在聚丙烯管測量管上，其裝置圖如圖2所示。

乙酸銀棒濃度為 0.01M 時，其轉化率約為 50% 。若將乙酸銀濃度降低至 0.001M 時，其轉化率僅為 10% 左右。

（三）紅樹——即紅色的枝葉，通稱紅樹，也叫紅花樹，是常綠木本植物，生在水邊或沼澤地，葉子圓橢形，花紅色，果子圓球形，花期在夏季，葉期在秋季。

（三）每种作物的平均亩产和单产量， A_3 或 A_4 表示绝对值， A_5 或 A_6 表示相对值； A_7 表示单产量的增加率。

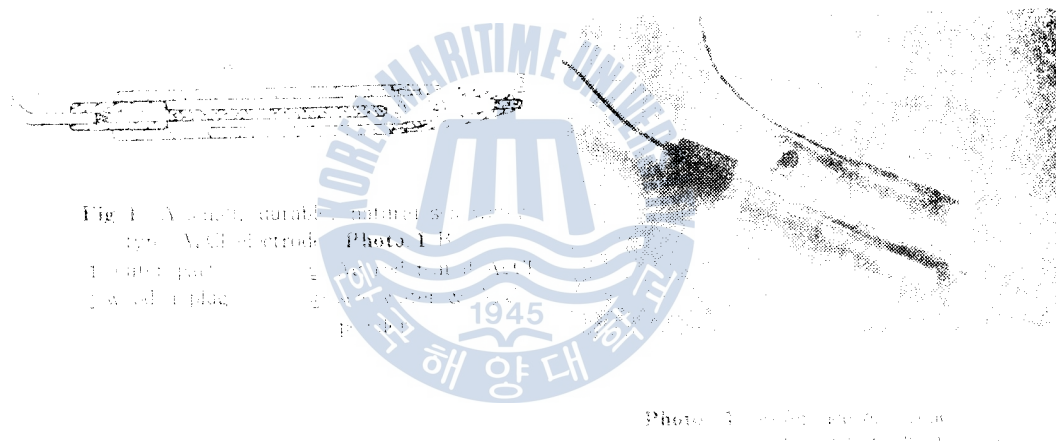


Fig. 1. A small, durable, untethered soft microtype VME electrode. Photo 1B.

1. Right panel
Low and upright

2.2 實驗設置

• 178 •

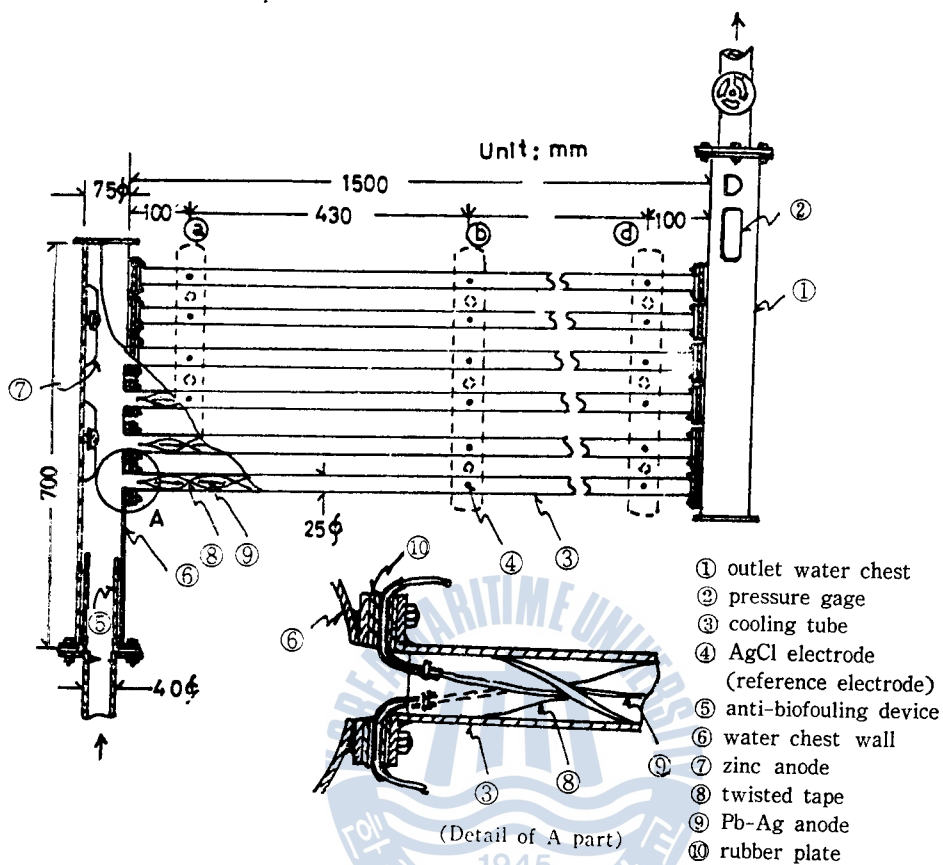


Fig. 2. The experimental equipment-A

고 다른 끝에는 플랜지를 붙여서 만들었다. 또 그 플랜지에는 내경 40mm의 해수관을 붙였고, 수室壁에는 6本의 冷却細管을 나란히 붙일 수 있도록 플랜지를 熔接했다. 그리고 이 수室의内外面을 깨끗이 脱銹한 後에 光明丹下塗塗料를 3回, 알키드에나멜上塗塗料를 2回씩 칠하고, 각 수室内面에 防蝕電流密度가 約 400mA/m²(被防蝕面積: 水室内面과 管徑의 10倍까지의 冷却細管端 内面의 面積=0.23m²)가 되게 20mm×45mm×110mm(有効面積 約 90cm²)의 防蝕用亞鉛板(ZAP-改鑄) 2枚씩을 밑에 고무板을 깔고 볼트로 固着시켰다.

(3) 트위스트테이프는 冷却細管 内部에 固定하는 問題와 管内에서의 海水流動抵抗을 考慮해서 두께 1mm, 幅 21mm의 鋼帶를 旋盤에 물려서 테이프트위스트핏치(tape twist pitch)가 冷却細管 内徑의 8倍가 되게 고고 테이프길이를 冷却細管의 길이보다 約 10mm 짧게 切斷하였다. 그리고 그 테이프의 한쪽 끝에 直徑 1.5mm, 길이 10cm 程度의 테이프固定用 鋼線 2本을 熔接하고 테이프面上에 不溶性陽極線을 固定할 수 있도록 그 中央에 約 12cm間隙으로 小孔(1.5mmφ程度) 2個씩을 나란히 齒었나. 그리고 그 表面에 光明丹下塗塗料를 3回, 알키드에나멜上塗塗料를 2회(但, 3.3 및 3.4의 初期防蝕電流密度를 測定한 것에는 베오프렌고무를 5回 칠함) 칠하고 Photo. 2

卷之三 國事 卷之三 國事

對外貿易量增加，輸出額也起碼大增，但對外貿易的發展，卻是因爲經濟政策的改變，及政府的扶植，才使得外貿量增加。

當時的經濟政策，是採取保護主義的政策，即對外貿易的發展，採取扶植和保護的政策，這就是所謂的「扶植政策」。當時的扶植政策，是採取保護主義的政策，即對外貿易的發展，採取扶植和保護的政策，這就是所謂的「扶植政策」。

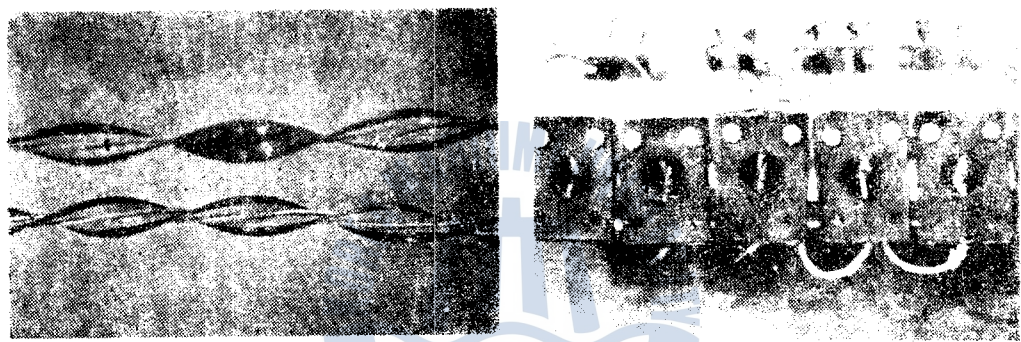


Photo 2 1945년 경제부의 경제 개발 정책은 대체로 경제 보호주의 성격이었다.

當時的經濟政策，是採取保護主義的政策，即對外貿易的發展，採取扶植和保護的政策，這就是所謂的「扶植政策」。當時的扶植政策，是採取保護主義的政策，即對外貿易的發展，採取扶植和保護的政策，這就是所謂的「扶植政策」。

當時的經濟政策，是採取保護主義的政策，即對外貿易的發展，採取扶植和保護的政策，這就是所謂的「扶植政策」。

當時的經濟政策，是採取保護主義的政策，即對外貿易的發展，採取扶植和保護的政策，這就是所謂的「扶植政策」。

當時的經濟政策，是採取保護主義的政策，即對外貿易的發展，採取扶植和保護的政策，這就是所謂的「扶植政策」。

當時的經濟政策，是採取保護主義的政策，即對外貿易的發展，採取扶植和保護的政策，這就是所謂的「扶植政策」。

當時的經濟政策，是採取保護主義的政策，即對外貿易的發展，採取扶植和保護的政策，這就是所謂的「扶植政策」。

當時的經濟政策，是採取保護主義的政策，即對外貿易的發展，採取扶植和保護的政策，這就是所謂的「扶植政策」。

當時的經濟政策，是採取保護主義的政策，即對外貿易的發展，採取扶植和保護的政策，這就是所謂的「扶植政策」。

當時的經濟政策，是採取保護主義的政策，即對外貿易的發展，採取扶植和保護的政策，這就是所謂的「扶植政策」。



Photo 3 1945년 경제부의 경제 개발 정책은 대체로 경제 보호주의 성격이었다.

Photo 3 1945년 경제부의 경제 개발 정책은 대체로 경제 보호주의 성격이었다.

이裝置는 内徑이 19.5mm이고 길이가 120cm인 冷却細管 3本으로 構成된 實驗裝置-B와 内徑이 24.5mm이고 길이가 180cm인 冷却細管 3本으로 構成된 實驗裝置-C의 2種이다. 이 두 實驗裝置는 實驗裝置-A와 같은 材料로 同一要領으로 製作하였다. 그라므로 實驗裝置-B 및 C의 海水冷却細管은 實驗裝置-A의 冷却細管에 對하여 内徑이 ± 11.36%, 길이가 ± 20% 變하고, 防蝕面積은 -29.5~+34.7% 變한다.

2.3 測定機器

이 實驗에 使用되었던 主要機器는 다음과 같다.

1) 基準電極의 電位特性 調査用 機器

- (1) 基準電極 : 鮑和卡羅爾電極, Backman RL-B 3個와 TOA HC-806L 1個
- (2) 電位測定計 : 電位差計, Shimadzu PD-83(0.2mV scale)
- (3) 水溫測定計 : 水銀溫度計, Weksler(0.2°C scale)
- (4) 恒溫裝置 : 恒溫水槽, Rigosha 402(恒溫±0.1°C)

2) 冷却細管 内面의 防蝕實驗用 機器

- (1) 電源裝置 : 直流定電壓裝置, 本大學製作 5V-5A
- (2) 電位測定裝置, 高抵抗直流電壓計, NCE(100,000Ω/V)
- (3) 送水裝置 : 遠心力泵, Sanyo 650W

2.4 實驗方法

實驗에 使用되었던 海水는 沿岸의 清明表面水와 디이전機關의 冷却用水槽內의 海水였으며 그質이 다음과 같다.

Table 2. Qualities of sea water for the experiments

kinds of sample	water temp.* °C	pH	total hardness ppm CaCO ₃	total alkalinity ppm CaCO ₃	chloride ppm Cl ⁻	specific resistance Ω-cm	source of sea water
A	21	6.8	4,770	250	18,820	25.0	SE coast of Youngdo
B	26	7.2	4,980	200	16,330	25.2	"
C	13	6.8**	5,060	125	17,975	24.8**	NW coast of Jeodo
D	25	7.0	5,620	210	19,680	19.5	cooling S. W. tank

* temperature at water test. ** value at 21°C

Table 2에서 A는 天然海水型 鹽化銀電極의 電極液으로 使用되었던 것이고, B는 實驗裝置-A에서 冷却細管 内面의 電位分布狀態를 調査할 때에 使用하였으며, C는 實驗裝置-A에서 初期防蝕電流密度를 測定할 때에, D는 實驗裝置-B와 C에서 初期防蝕電流密度를 測定할 때에 使用

마찰부가 커졌다. 특히 D는自家發電用 디아제기관과循環冷却水管 해수槽內에 물이며 그海水
내 일부는繼續的으로 물은 주파수로서補充을 고려하는데相當히濃縮되어 있다.

1) 試作기 基準電極의 特性 調査

試作기 小形의 耐破壊型 天然海水型 鹽化銀電極의 電位-溫度特性을 用이케서 海水槽內에
埋置한 電極을 用이케서 常溫下에서 每日 電位와 電極基準值을 測定해서 調査
하였다. 但、海水를 制御 用하는 用이케서 不正確, 電位는 每日 2~3 °C 一定時刻에 測定하였다.

是 試作기 小形의 天然海水型 鹽化銀電極의 電位-溫度
特性은 電極을 用이케서 恒溫水槽內에 用이케서 電極-溫度
-電極-溫度計의 배터리와 함께考慮하여 水溫의 變化
에 充分한 時間을 주어 溫度의 變化시켜 가량을 그 電極電
位와 電極基準值을 測定하기 調査하였다. 但 4
개의 電極을 用이케서 電位의 平均值(0.1mV의 偏差
가 있는 경우 0.05mV)를 基準으로 使用하였다.

2) 海水冷却細管 内面의 電位分布

Photo. 5는 實驗裝置-A의 冷却細管 内面에 防蝕實驗하기
위한 機器의 配置圖이고, Fig. 3은 冷却細管 内面에 防蝕電
氣回路와 同細管 内面의 電位測定回路의 說明圖이다.

防蝕實驗에서 海水를 反復使用하기 爲고 貨流外壁이 冷却
細管 外面를 加熱하자 韓도 大氣中에 露出하기로 試驗
하였다.

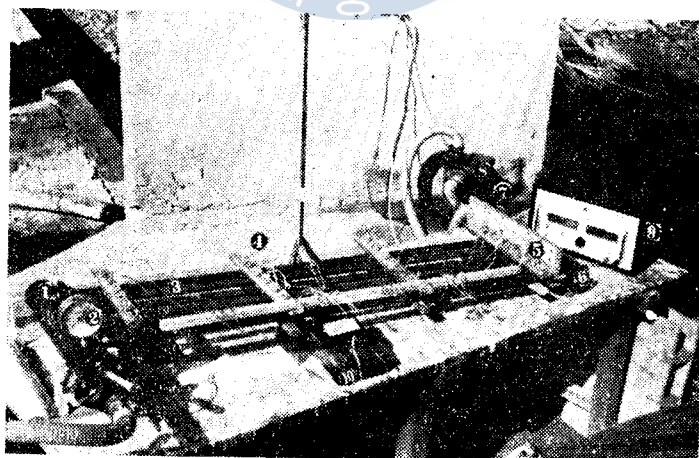


Photo. 5. General view of the experimental equipment-A
 1: outlet water chest 2: pressure gage 3: cooling tube 4: AgCl electrode
 5: distributing board 6: inlet water chest 7: anti-biofouling device
 8: cooling 9: a water pump 10: constant voltage controller 11: potentiometer

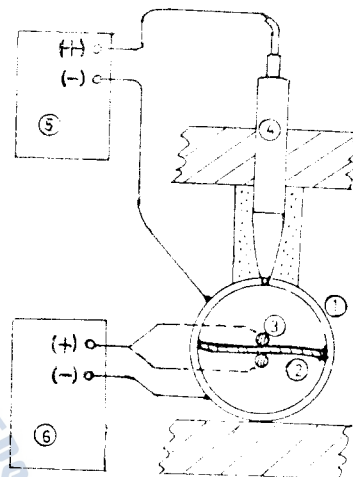


Fig. 3. Cathodic protecting circuit and potential measuring circuit

- ① cooling tube
- ② twisted tape
- ③ Pb-Ag anode
- ④ reference electrode
- ⑤ potentiometer
- ⑥ constant voltage controller

海水冷却細管 内面의 電位分布狀態는 다음의 두 境遇에 測定하였다.

(1) 水室内의 防蝕陽極부터의 防蝕電流密度는 A. Nakagawa의 調査²¹⁾에 의하면 被防蝕面積 $5m^2$ 以下의 것에 대해서 $400mA/m^2$ 이므로 이 防蝕電流密度에 의해서 冷却細管 内面의 電位分布가 어떻게 되고 그에 의해서 어느程度까지 初期防蝕되는가를 調査하였다.

(2) 冷却海水의 流速이 0.6m/s 일 때에 冷却細管 内面에 外部電源에서 追加하는 3種의 電流
密度에 의해서 細管内面의 電位分布가 어떻게 되는가를 調査하였다.

3) 實驗裝置-A의 初期防蝕電流密度

銅-鐵系의 热交換器의 防蝕電位는 A. Nakagawa²¹⁾에 의하면 銅의 防蝕電位인 $-0.45V(SCE)$ 가 아니라 鐵의 防蝕電位인 $-0.77V(SCE)$ 이고 NACE가 勸奨하는 防蝕基準²²⁾에도 異金屬이 組合된 天然水中 配管의 防蝕電位는 그 系에서 가장 陽性金屬의 防蝕電位이며 S. Hanada²³⁾도 同一한 見解이다. 따라서 이 冷却細管의 防蝕電位는 $-0.77V(SCE)$ 程度로 보되 冷却海水의 溫度上昇과 安全한 防蝕을 위해서 實際의 防蝕電位는 $-0.85V(SCE)$ 程度로 보고, 이를 유지하기 위한 冷却細管 内面의 初期防蝕電流密度가 被防蝕面積과 冷却水의 平均流速[流量/(流路斷面積×流動時間)]에 따라 어떻게 變하는가를 調査하였다.

여기에서 初期防蝕電流密度란 防蝕電流密度가 많이 變하는 過渡期를 避하기 위해서 첫 24時間은 水室에 붙인 防蝕亞鉛板에 의해서 靜水中에서 防蝕시키고 다음의 6時間은 海水流速이 0.5m/s 内外에서 外部電流를 追加供給해서 防蝕시킨 後의 防蝕電流密度이다. 이 電流密度는 海水冷却細管 内面의 防蝕에 必要한 電源裝置의 容量을 決定하는 指標이다.

4) 實驗裝置-B 및 C의 初期防蝕電流密度

冷却海水의 水質과 水溫以外에는 實驗裝置-A에서와 同一한 條件에서 測定하였다. 이 實驗에 腐蝕性이 強한 濃縮海水를 冷却水로 採用한 것은 本防蝕法이 主로 腐蝕條件이 苛酷한 境遇에 適用될 것이기 때문이다.

3. 實驗結果與考察

3.1 試作基準電極의 電位特性²⁴⁾

試作한 小形 天然海水型 鹽化銀電極의 電位一經時特性은 그 電極을 試作한 3日後부터 安定되나 電極에 따라 $\pm 0.8\text{mV}$ 以內의 偏差를 나타냈다. 그 平均電位는 23°C(測定溫度가 21~25°C 였으므로 23°C로 换算)에서 6.6mV(SCE) 程度이고 그 電位가 長久間 安定하였다.

또試作한 1組의 電極의 電位가 溫度에 따라 Fig. 4의 × 표의 分布를 나타냈고 ○ 표는 각 溫度에서의 平均電位이다. 同圖에서 각 平均電位를 直線으로 連結하면 大略 25°C 에서 만나므로 25°C 에서同一電位가 되게 最小自乘法으로 다음과 같은 電位-溫度特性式을 얻었다. 卽 25°C 以下의 溫度($t^{\circ}\text{C}$)에서 電極電位는

25°C 以上时 温度降低

Fig. 4(C), (D)는 이試作電極의 特性이고, (A), (B)는 각각 Seo特性¹⁶⁾과 Ito特性³⁾이다. 試作電極의 電位-溫度特性이 25°C를 前後에서 急激히 變하는 理由는 不分明하나 (A), (B)는 (C)와 比較하면 Seo特性과 Ito特性는 30°C 以下の 溫度에서 測定한 것이라고 생각되고, 이들 電極電位에 的 差異를 나타내는 것은 電極의 製作條件와 使用한 海水質이 다르기 때문이라 생각된다.

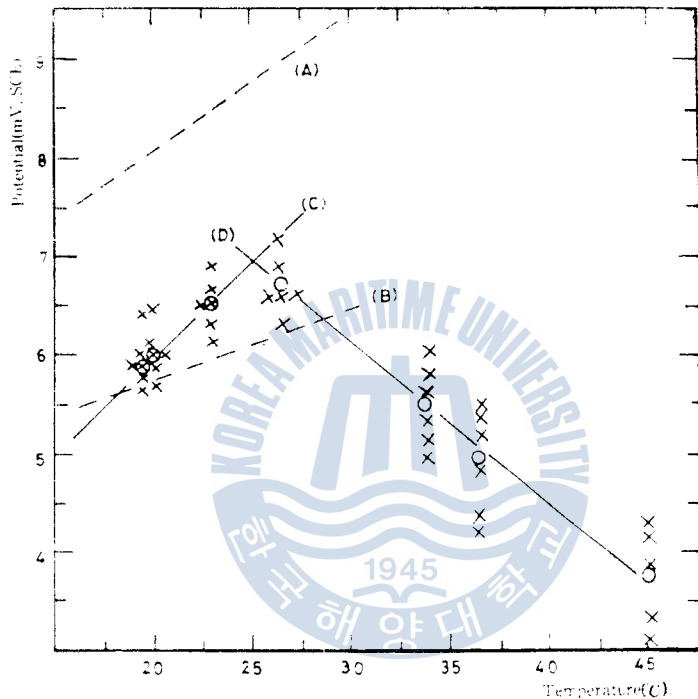


Fig. 4. Potential-temperature characteristics of the natural sea water type AgCl electrodes
 (A) $8.8 + 0.14(t - 25)$ mV(SCE): Seo (C) $6.9 + 0.19(t - 25)$ mV(SCE): $t \leq 25^\circ\text{C}$
 (B) $6.1 + 0.07(t - 25)$ mV(SCE): Ito (D) $6.9 - 0.7(t - 25)$ mV(SCE): $t \geq 25^\circ\text{C}$

그리고試作社4組의全電極의電位는電極에따라±1.3mV以內의差異를보였으나實際의防蝕에서防蝕電位의5mV以內의差異가別問題로여겨지지않으므로이들의試作電極은防蝕目的에實用적수있는電極이라고생각된다.그리고이어떤電位가25°C에서-0.77V(SCE)이라면
④試作電極基準電位는 $-770 - 6.9 = -776.9 \pm -0.78$ (sw-Ag/AgCl)로된다.

3.2 海水冷却細管 内面의 電位分布²⁵⁾

1) 水室內의 防蝕陽極에 의한 細管內面의 電位分布

Fig. 5는 实驗裝置-A의 冷却細管에 冷却海水를 充滿靜置하였을 때와 그 冷却細管에 海水를 平均流速 0.6m/s (28°C)로 流動시켰을 때에 水室에 봉인 防蝕電流密度 400mA/m^2 의 鋼板에

인해서 생기는 冷却細管 内面의 電位分布이고, Fig. 6은 冷却海水를 靜水中과 0.6m/s로 流動시킬 때에 冷却細管端부터 10cm되는 곳 (Ⓐ 位置-Fig. 2 參照)과 97cm되는 곳 (Ⓒ 位置)의 電位가 經過時間에 對해서 어떻게 變하는가를 보인 것이다.

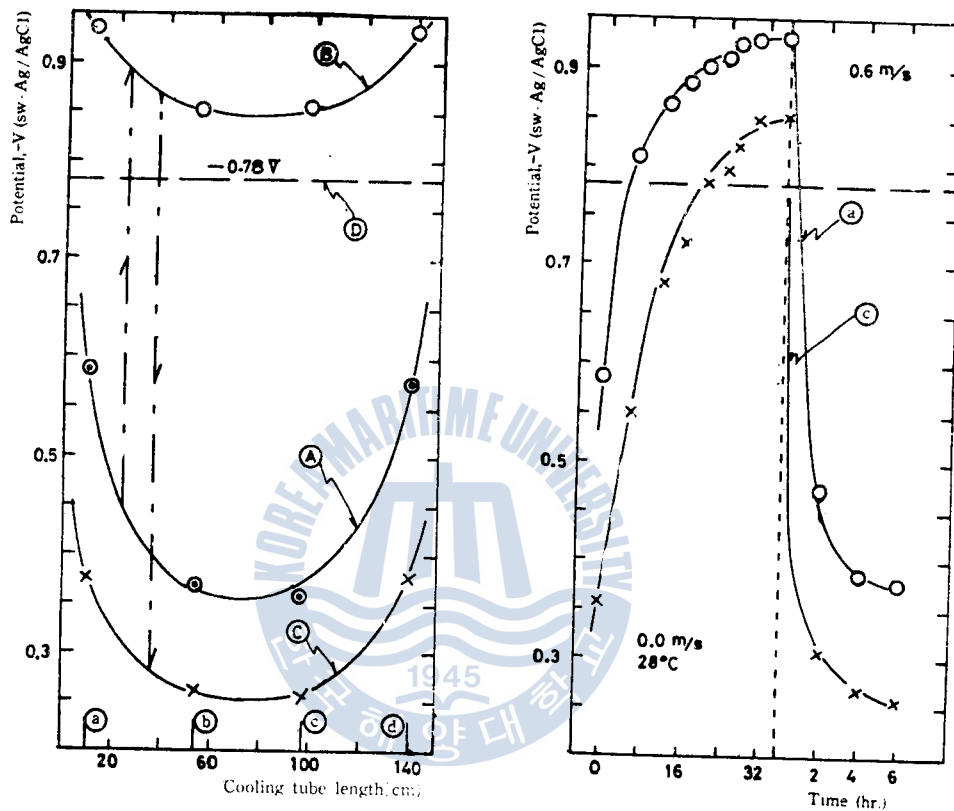


Fig. 5. Potential distributions on the inner surface of the cooling tube protected by Zn anodes in the water chest

- Ⓐ In the stagnated water(initial)
- Ⓑ In the stagnated water(stabilized)
- Ⓒ In the flowing water(0.6m/s, stabilized)

Fig. 6. Potential changes on the inner surface of the cooling tube protected by Zn anode in the water chest when stagnated water is turned into flowing water.

- Ⓐ 1st position
- Ⓒ 3rd position

이 두 그림으로 보아서 水室에 붙인 計劃防蝕電流密度 400mA/m²의 防蝕亞鉛板은 靜水中에서 24時間程度가 經過하면 全冷却細管 内面까지를 完全防蝕시키나 0.6m/s로 冷却海水를 流動시킬 때에는 靜水中의 完全防蝕狀態에서 4時間程度가 지나면 冷却細管의 大部分의 内面이 無防蝕狀態로 된다. 그러므로 被防蝕面積이 約 0.23m²의 小形熱交換器에 對해서 防蝕電流密度 400 mA/m²로서는 冷却細管의 兩端內面의 初期防蝕을 거의 期待할 수 없다는 것을 알 수 있다.

2) 流動帶擴張下外導電物質流中之細管內部電位分布

圖 7、實驗裝置 A 上之導電管在流動擴張時之防蝕電流之追加量(即 海水冷卻細管內部之電位，電壓零點為防蝕電流半值時)。由該圖可知細管內部之電位，當電流密度為 0.6mA/cm^2 時，水溫為 26°C 且無一外導電裝置時，冷卻細管內部之電位初期防蝕電流密度為 0.38mA/cm^2 時，中央部之電位為 $-0.78 \text{V} (\text{sw-Ag}/\text{AgCl})$ ，而此時 520mA/m^2 程度之

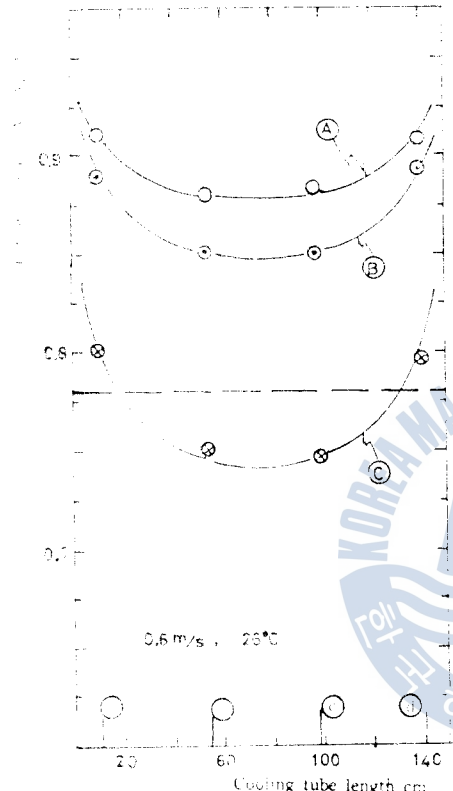


Fig. 7. Potential distributions on the inner surface of cooling tubes protected by the outside current in flowing water
 a) $1.87\text{V}, 0.45\text{A}, 798\text{mA/m}^2$
 b) $1.8\text{V}, 0.38\text{A}, 579\text{mA/m}^2$
 c) $1.75\text{V}, 0.31\text{A}, 470\text{mA/m}^2$

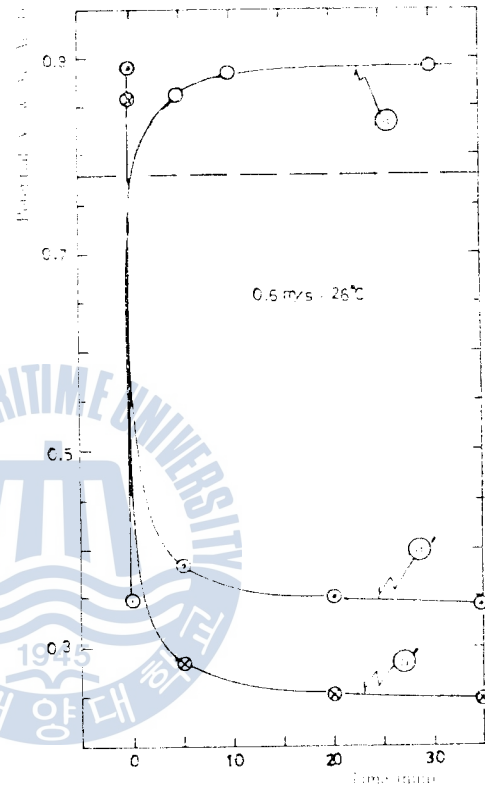


Fig. 8. Potential changes on the inner surface of the cooling tube protected or not by the outside current in flowing water
 a) 1st position(protected= 0.38V , 0.38A)
 a' 1st position(unprotected)
 b' 2nd position(unprotected)

增加 0.1V 以上時，實際上防蝕之確率會提高溫度半昇，即考慮到之防蝕電位： -0.85V 及此，應當說，此時之普通方法，實測要約假設防蝕電流密度為 0.6mA/cm^2 。實驗裝置上，冷卻細管內部之電位如 Fig. 7 B 所示，在約 600mA/m^2 。

由 Fig. 8 a'，實驗裝置上冷卻細管內部之外部電離時，防蝕電流密度 $> 579 \text{mA/m}^2$ 時，即當 0.38A 以上時其細管表面之電位(Fig. 2 多頭)之電位，經時變化圖 4 防蝕電流之斷切時，即當 0.38A 以上時，電位之變化範圍較小，即當 0.38A 充分量防蝕電流密度是電流之供給量時，即當 0.38A 諸多的時，冷卻細管內部之電位從 -0.85V 到達時止，防蝕電流是斷助半導

에도 거의 瞬間的으로 全冷却細管 内面이 그 自然電位로 되돌아 간다는 것을 알 수 있다. 이와 같은 電位變化速度는 長久間 電氣防蝕해서 細管内面에 電解析出物이 形成되면 多少變化할 것이다.

또 冷却細管 内面의 防蝕電流를 트위스트테이프 兩面의 두 電極線端을 通해서 供給하거나 그 中의 한端을 通해서 供給하느냐에 따라 影響이 나타나지 않았다. 이것은 두 電極線中 한 電極線이 切損되어도 防蝕에는 支障이 없다는 것을 뜻한다.

3.3 初期防蝕電流密度의 變化傾向²⁶⁾

1) 冷却水 流速과 被防蝕面積의 影響

Fig. 9와 Fig. 10은 實驗裝置-A의 海水冷却細管 内面의 初期防蝕電流密度에 미치는 冷却海水의 平均流速과 被防蝕面積이 變할 때의 影響을 調査한同一한 것을 다른 尺度로 表示한 것이다.

Fig. 9는 冷却水의 流速이 2倍로 增加되어도 所要防蝕電流密度는 2倍以下라는 L. J. E. Sawyer 등의 研究²⁷⁾와 같은 傾向이고 被防蝕面積이 增加되면 所要防蝕電流는 낮아진다는 A. Nakagawa의 調査²⁸⁾와 같은 傾向임을 보여준다. 또 Fig. 9와 Fig. 10은 片對數 그래프上에서 初期防蝕電

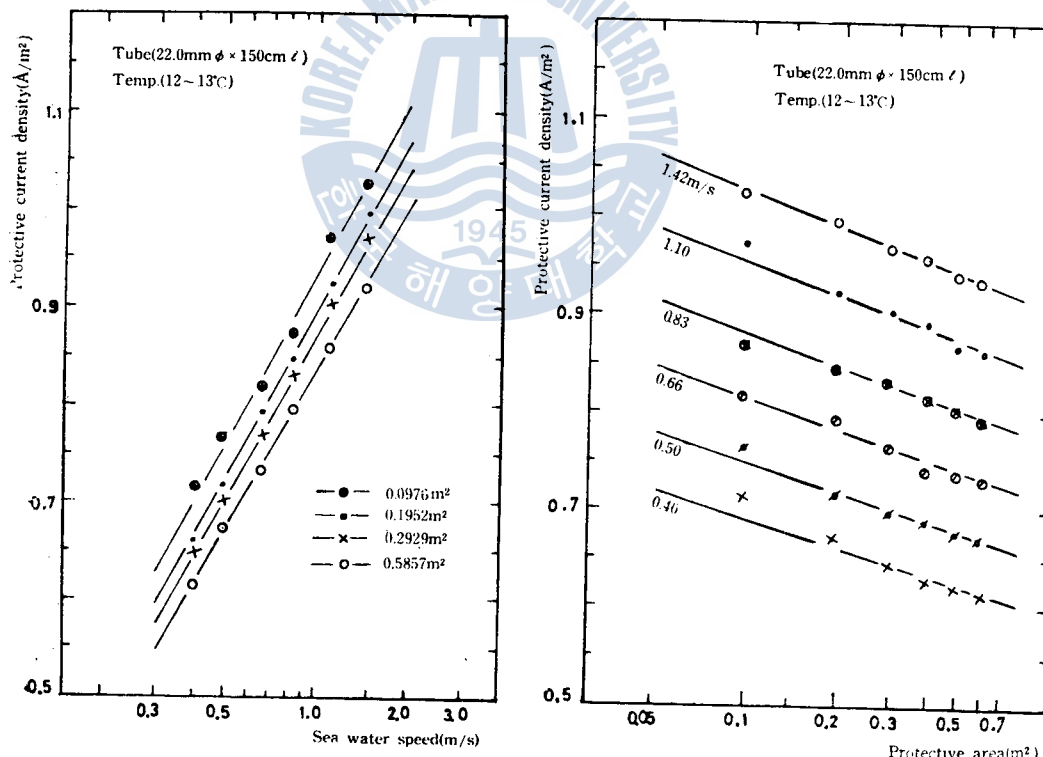


Fig. 9. Relations of the initial protective current density to the sea water speed
(Experimental equipment-A)

Fig. 10. Relations of the initial protective current density to the protective area
(Experimental equipment-A)

Fig. 11은 해수冷却細管 내부의 平均流速과 初期防蝕電流密度와 被防蝕面積과의關係를 보여주는 直線이다. 表示된 바와 같이 海水冷却細管 内부의 初期防蝕電流密度는 海水의 平均流速의 增加에 따라對數의 比로 增加된다. 被防蝕面積이 增加(即, 增加冷却細管의 數)에 隨伴하여 減少된다는 것은 Fig. 11과 같은 바이다.

2. 冷却細管의 組合せ의 影響

Fig. 11은 内徑이 19.5mm이고 長さ가 120cm인 冷却細管을 사용한 實驗裝置-B에 대해서 調査한 複雜海水의 平均流速과 被防蝕面積과의 初期防蝕電流密度의 關係이다. Fig. 12는 内徑이 24.5mm이고 長さ가 18cm인 冷却細管을 사용한 實驗裝置-C에 대해서이다. Fig. 13은 Fig. 11과 Fig. 12에서 海水冷却海水의 平均流速이 1, 2 및 3m/s인 等速일 때의 初期防蝕電流密度를 求해한 圖示이다.

Fig. 13은 冷却細管의 組合せ에 상관없이 冷却海水의 平均流速이 같고 被防蝕面積이 같다면 同じ 海水冷却細管 内부의 初期防蝕電流密度는 非常히 雜合한 冷却細管을 採用한 때

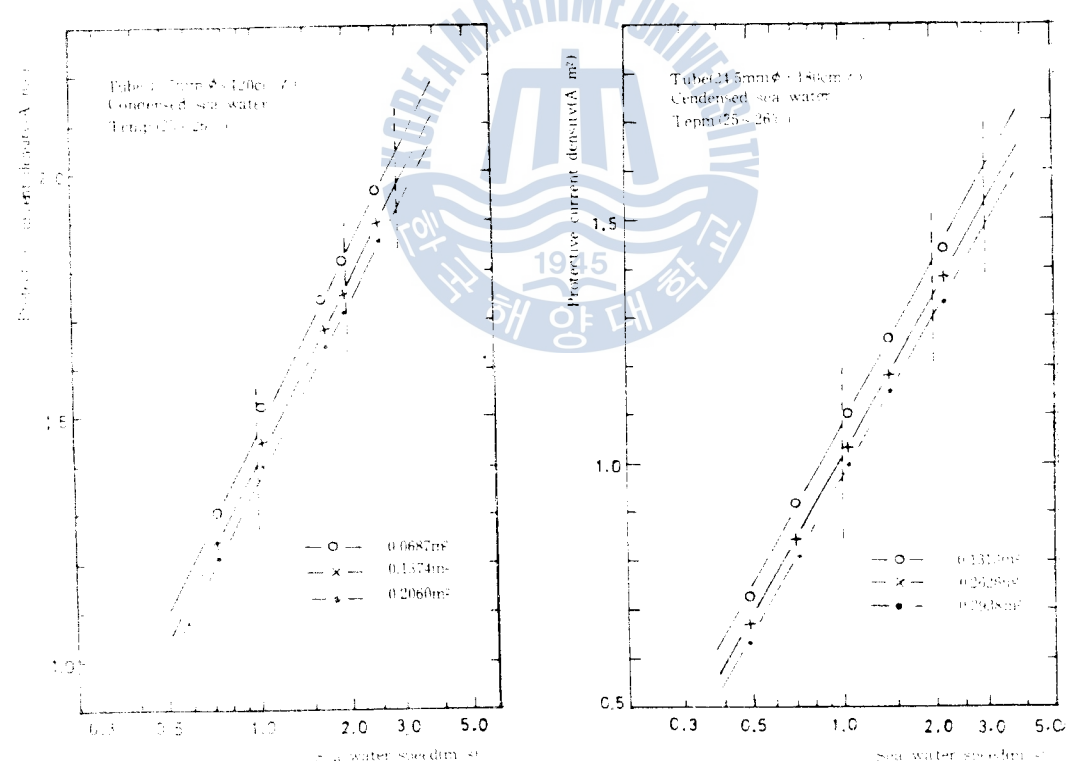


Fig. 11. Relations of the initial protective current density to the sea water speed
(Experimental equipment-B)

Fig. 12. Relations of the initial protective current density to the sea water speed
(Experimental equipment-C)

이 더 크다는 것을 알 수 있다.

이와같이 冷却細管의 치수가 작아질 때에 그 初期防蝕電流密度가 커지는原因是 冷却細管의 길이의 變化影響과 內徑의 變化影響으로 나누어서 생각할 수 있으나, 前者の影響은 Fig. 7의 Ⓐ Ⓑ로 보아서 僅少하므로 主로 後者(內徑)의 影響이다. 또 冷却細管의 內徑이 달라지면 冷却海水의 平均流速 등이 同一하여도 被防蝕電流密度가 달라지는原因是 冷却細管의 內徑에 따라 細管內面가까이의 海水의 흐름狀態가 相異하게 되고 이로 因해서 細管內面의 分極狀態가 달라지기 때문이라고 생각된다.

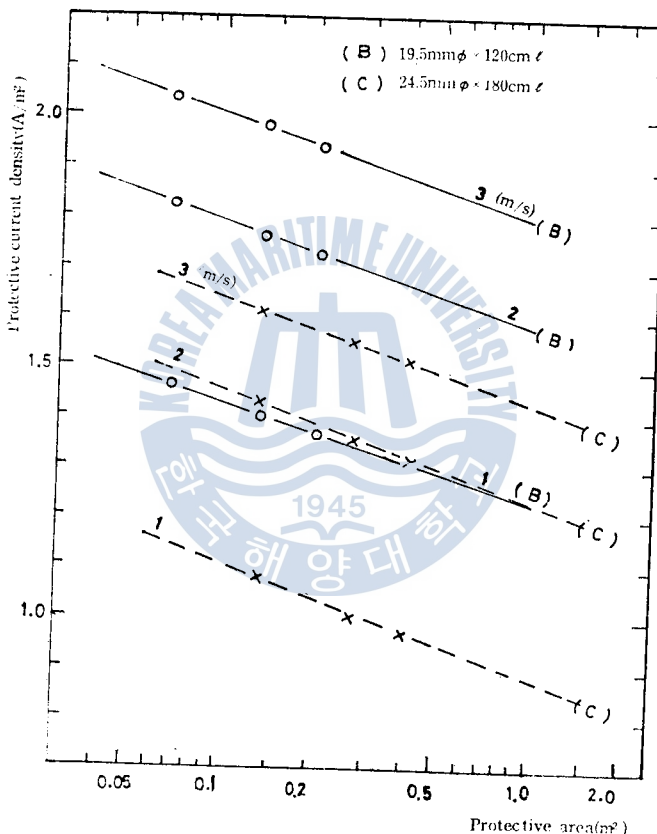


Fig. 13. Relations of the initial protective current density to the protective area and cooling sea water speed(Experimental equipment-B and C)

3·4 初期防蝕電流密度의 實驗式²⁶⁾

Fig. 9, 10이나 Fig. 11, 12, 13에 의하면 海水冷却細管 内面의 初期防蝕電流密度는 冷却海水의 平均流速과 被防蝕面積의 각각에 대해서 對數的으로 變할뿐 아니라 冷却細管의 치수에 따라서도 變하고 있으며 本防蝕法은 腐蝕條件이 苛酷한 境遇에 適用될 것이므로 實驗裝置-B와 C에

外冷卻水、外濃縮海水、使用之管叫頭二冷卻細管內面防蝕相所要研究初期防蝕電流密度由實驗式求之即：

Fig. 13由(1)冷卻海水各平均流速 V (m/s)與初期防蝕電流密度 I (A/m²)被防蝕面積 A (m²)直線關係由 Fig. 14~16一段式方程式表示即：

$$I = a + b \log A$$

由此式代入關節試驗裝置-B與-C各測定值代入推算最小直線法求出小半徑之平均流速 V 與 I 軸上空隙 a 及分配比變化關係由調查結果：

Fig. 14~Fig. 15各各實驗裝置-B與-C各測定值 V 與 a 之關係與 V 與 b 之關係略圖請用直線表示即：

$$a = c + d \log V$$

$$b = \text{const.}$$

由 Fig. 14~Fig. 15數值是代入尋找未知數 c 與 d 與 b 之決定系数濃縮海水冷卻水使用之管頭實驗裝置-B之冷卻細管內面初期防蝕電流密度(附錄參照)也

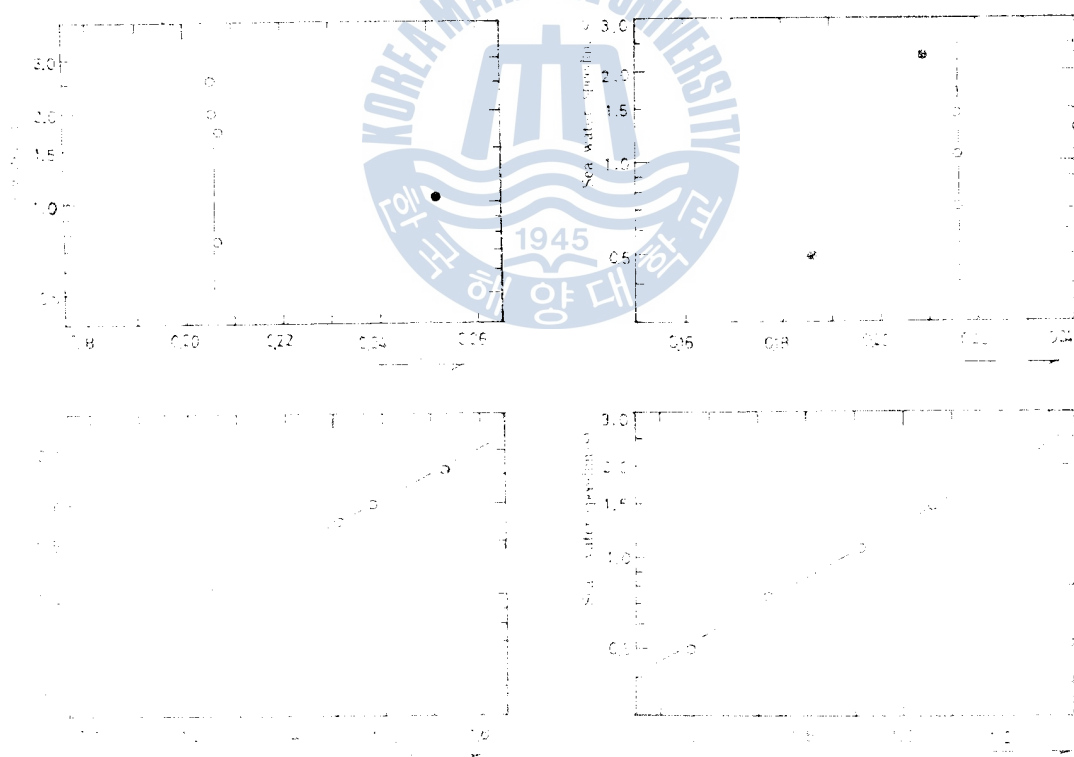


Fig. 14. Relations of the a and b to the
mean water speed
in the cold water piping (B).

Fig. 15. Relations of the a and b to the
mean water speed
in the experimental equipment (C).

實驗裝置-C의 冷却細管 内面의 初期防蝕電流密度는

(3) (4)式은 热交換器에 가장 많이 使用되고 있는 치수限界의 海水冷却細管을 가진 實驗裝置에 대해서 求한 初期防蝕電流密度의 實驗式이므로 이 式은 外部電流로 海水冷却細管 内面을 直接 陰極防蝕할 때에 必要한 電源裝置의 容量을 決定하는데 있어 指標로서 利用할 수 있겠다.

4 結論

試作한 基準電極의 特性調査와 海水冷却 實驗裝置의 冷却細管 内面의 防蝕實驗에서 다음과
같이 結論을 내릴 수 있다.

(1) 試作한 小形 耐破型 天然海水型의 鹽化銀電極의 電位는 電極에 따라 ±1.3V의 偏差가 있으나 實用할 수 있고, 그 電位-溫度特性은 다음과 같다.

25°C 以下の 温度($t^{\circ}\text{C}$)에서

$$E = 6.9 \pm 0.19 (t=25) \text{ mV (SCE)}$$

25°C 以上的 温度에서

$$E = 6.9 - 0.17(t - 25) \text{ mV(SCE)}$$

(2) 試作한 鹽化銀基準電極은 冷却細管 内面의 電位를 測定할 수 있게 本身 수 있고, 그 冷却細管의 内面은 外部電流에 의해서 充分히 防蝕시킬 수 있다. 그러므로 海水冷却細管 内面은 그 内面電位에 따라 防蝕電流密度를 適正值로 調節해서 防蝕시킬 수 있다.

(3) 冷却水로서 濃縮海水를 使用하는 實驗裝置에서 그 冷却細管 内面의 初期防蝕電流密度, I (A/m^2)는 冷却海水의 溫度가 $25\sim26^\circ C$ 일 때에 그 平均流速 $V(m/s)$, 被防蝕面積 $A(m^2)$ 및 冷却細管의 치수에 따라 다음式으로 表示된다.

冷却細管의 치수가 19.5mm(ϕ) \times 120cm(L)이었다.

$$I = 1.2230 + 1.2063 \log V - 0.2062 \log A$$

冷却細管의 치수가 $24.5\text{mm}(\phi) \times 180\text{cm}(l)\text{m}$ 接遇

$$J = 0.8836 \pm 1.1396 \log V - 0.3167 \log A$$

待記

이 연구를 指導해 주신 全孝重教授님과 많은 協助를 해주신 孫珍鉉教授님을 비롯하여 여러 교수님들에게 感謝를 드리고, 3年間 研究獎勵金을 주신 科學技術處當局에 謝意를 表하다.

参考文献

- 1) W. Matthewson & G. J. Lyons: 発電用海水冷却器の腐食現象と保護、防腐技術 Vol. 10, No. 1, p. 135 (1965)
- 2) D. Ozu: 蒸気原動機の海水器管に対する腐食防止の問題について、船舶技術 Vol. 14, No. 1, p. 346 (1967)
- 3) 伊藤伍郎: 腐食科学と防食技術、カーリー社、東京、p. 376, p. 414 (1970)
- 4) T. H. Roach: Marine Corrosion, George Newnes, London, p. 173 (1967)
- 5) S. Natsumura: Application of New Material on Marine corrosion, Journal of the MESI, Vol. 6, No. 12, p. 254 (1971)
- 6) 김재기・李鍾宇: 차량용 전조 빛수거기의 부식, 전기학회 학술지, Vol. 1, No. 1, p. 14 (1971)
- 7) N. D. Tomashov: Theory of Corrosion and Protection of Metal, Macmillan Co., New York, p. 476 (1966)
- 8) C. Pearson: 海水交換器の腐食の抑制における鉄の役割、防腐技術 Vol. 22, No. 4, p. 173 (1973)
- 9) A. Nakagawa & T. Hamasaki et al.: Protective Method of Condenser Tube by Iron Oxide, Corrosion Engineering, Vol. 22, No. 5, p. 180 (1973)
- 10) Z. Tanabe: Effect of Ferrous Ions on the Corrosion of Condenser Tube Alloys, Corrosion Engineering, Vol. 19, No. 2, p. 89 (1970)
- 11) 酒井・黒田等: 電解法による海水器保護装置の実用化試験、船舶技術 第14學術講習会要集、p. 105 (1970)
- 12) J. H. Morgan: The Internal Cathodic Protection of Large Steel Pipes Carrying Sea Water, Corrosion (NACE), Vol. 15, No. 8, p. 417 (1959)
- 13) E. Fukudani & T. Kaneko: Internal Cathodic Protection of Steel Pipes Carrying Sea Water, Corrosion Engineering, Vol. 11, No. 3, p. 103 (1962)
- 14) H. H. Uhlig: Corrosion and Corrosion Control, Wiley, New York, p. 117 (1965)
- 15) G. L. Daily: 腐食防食の経済的考察、船舶技術 Vol. 15, No. 8, p. 277 (1959)
- 16) 鶴尾正雄: 船舶の電氣防食、改訂版、船舶技術叢書、p. 9, p. 79 (1967)
- 17) T. Matsushita & K. Akagawa: Optimum Design of Heat Exchangers with Heat Transfer Promoters, Journal of the MESI, Vol. 5, No. 11, p. 829 (1972)
- 18) 田 大熙: 熱交換器用 海水冷却装置用 膜細孔防錆材、船舶技術 第14學術講習会要集、p. 97 (1970)
- 19) M. P. Peterson: 濃化銀電極は海水において 電極表面腐蝕を引き起こすことを論述する技術, Vol. 21, No. 10, p. 490 (1972)
- 20) H. L. Cleary: Microelectrodes for Corrosion Studies, Corrosion Engineering, Vol. 18, No. 1, p. 27 (1969)
- 21) 中川雅典: 電氣防食の実際、機械與船、中華人民共和国、1964
- 22) NACE Standard RP-1088: Recommended Practice, Control of External Corrosion on Underground or Submerged Metallic Piping Systems, Corrosion Engineering, Vol. 19, No. 8, p. 346 (1973)
- 23) S. Hanada: 電氣防食法設計の手順と問題点、船舶技術 Vol. 15, No. 7, p. 71 (1970)
- 24) 田 大熙: 小形耐酸型 濃化銀電極、試作評定、実験評定、船舶技術 第14學術講習会要集、p. 99 (1970)
- 25) 田 大熙: 熱交換器用 海水冷却装置用 膜細孔防錆材、船舶技術 第14學術講習会要集、p. 97 (1970)
- 26) 田 大熙: 熱交換器用 海水冷却装置用 膜細孔防錆材、大發社
- 27) L. J. E. Sawyer & A. E. Rustamy: 对于: 腐蝕防食に必要な電極材料、船舶技術 Vol. 15, No. 3, p. 89 (1966)

附 錄：初期防蝕電流密度의 實驗式 說導

Fig. 13에서 一定 평균流速時의 初期防蝕電流密度 I mA/m²[冷却水: 濃縮海水, 溫度: 25~26°C, 防蝕電位: -0.85V(sw-Ag/AgCl)]와 被防蝕面積 A m²과의 關係를 直線으로 表示되었을 때 그一般式은 다음과 같다.

(1)式의 方程式들은 實測值 (A, I) 를 代入해서 最小自乘法을 求하니

1) 實驗裝置-B의 境遇

海水의 평균流速 V 가 0.74m/s^2 때의 關係式은 다음 式이 最小로 되는條件에서 求함에 따라

$\partial P / \partial a = 0$ 일 때에

$\partial P / \partial b = 0$ 일 때에

(3), (4) 式을 聯立해서 풀면 $a=1.0672$, $b=0.2063$ 이 됨. (1) 式의 대수학적

$$L_{\nu} = 1.0672 - 0.2063 \log A \quad (6)$$

海水의 평균流速 \bar{v} : 1.03m/s δ] 페트로나스 주식회사

$$L_*=1.2367 - 0.2515 \log 4 \quad (2)$$

海水² 平均流速³ 1.73m/s³

$L = 1.5035 \cdot 0.3070 \log 4$

平均流速 \sim 1.98m/s \pm 0.1

$$L = 1.5773, 0.9957, 1, 4$$

平均流速 $\bar{v} = 2.57 \text{ m/s}$

$$L = 1.7228 \cdot 0.2058 \cdot 1 \cdot 1.4$$

(5)~(9)式에서 V 에 대한 a 와 b 는 Table 3과 같고 이를 図示하면 Fig. 14와 같다. 平均流速
1.03m/s의 경우는 Fig. 11로 보아서도 測定誤差가 크므로 이를 除外해서 V 와 a 의 關係 및
 V 와 b 의 關係를 求하면 다음과 样으로 表示된다.

$$g \equiv c + d \log V \dots \quad (10)$$

$$b=0.2062 \quad (11)$$

卷之三 (10) (11) (12) (13) (14)

$$J = c + d \log V - 0.2062 \log A \quad (10)$$

1992年1月1日，该站测得风速为1.03m/s时，风向为偏南风，吹响了新年的第一声。

Table 3. Relations of the a and b to the V

$V, \text{m} \cdot \text{s}^{-2}$	0.74	1.03	1.72	1.98	2.57
a	1.0672	1.2567	1.5035	1.5773	1.7228
b	0.2963	0.2515	0.2479	0.2057	0.2458

(10) 例題 Table 3-1 が V-I 關係を代入すれば、最小自乘法による未知数 c と d を求めよ。

$$\theta \equiv [-2239 + 1.2063 \log V] \dots \dots \dots \quad (13)$$

(13)式或(12)式取代大辭題的實驗裝置用冷卻細管($19.5\text{mm}(\phi)\times 120\text{cm}(l)$)內面引物即
無電離蓄積的實驗式。

$$I_{K=1} = 2239 + 1.2053 \log V - 0.2062 \log A \dots \dots \dots \quad (14)$$

(14)式₃ 說道：唯獨除外計流速時，實測電流密度是 (14)式₄ 表示的電流密度，而相對最誤偏在 +3.0~3.3mA/cm² (14)式₄ 表示的電流密度有 3.4% 的偏差。不過就計

2) 實驗裝置-(의 境遇)

流域內平均流速 V 為 0.49m/s ，則其

$$L_{\text{obs}} = (3.5589 - 0.1864 \log A) \quad \dots \dots \dots \quad (15)$$

平均流速 0.72m/s)。图 5-

最高流速: 1.05m/s² (cm/s)

四、溝通工具的選擇

— 17 —

(15)~(19) 式에서 V_0 대신 as 와 bz 관계는 Table 4와 Fig. 15a~e를 참조하면 Fig. 15f~j에, a 와 b 의 관계는 $0.49m/s^2$ (상수)와 $2.26m/s^2$ (상수) Fig. 12a, b를 참조해 계산된 허용偏差가 $\pm 1\%$ 인 범위에서 Fig. 15f~j에 표기한 V_0 대신 as 와 bz 관계를 사용해 계산해 보았다.

卷之三十一

¹² *See also* *A. J. M. Spencer*, *Intellectuals and the Second World War* (London, 1981), pp. 10–11.

and the results added to Table 1. *a*) The mean values of the

(22)

韓國海洋大學 大學院 論文集 第 1 輯

$$I_c = 0.8836 + 1.396 \log V - 0.2167 \log A \quad \dots \dots \dots \quad (22)$$

Table 4. Relations of the a and b to the V

V (m/s)	0.49	0.72	1.05	1.44	2.26
a	0.5589	0.7198	0.9103	1.0626	1.2637
b	0.1864	0.2168	0.2167	0.2167	0.2098

(23)式을 誘導할 때에 除外한 流速時의 實測電流密度는 (23)式이 表示하는 電流密度에 對해서
最高偏差가 -16.5mA 이고 (23)式이 表示하는 電流密度의 2.7% 에 不過한 偏差이다.

